ЭЛЕКТРОЛИТИЧЕСКОЕ ПОЛУЧЕНИЕ УГЛЕРОДНЫХ НАНОТРУБОК ИЗ ХЛОРИДНО-ОКСИДНЫХ РАСПЛАВОВ ПОД ДАВЛЕНИЕМ ДИОКСИДА УГЛЕРОДА

<u>Новоселова И.А.*</u>, Олийнык Н.Ф., Волков С.В.

Институт общей и неорганической химии НАН Украины, пр. Палладина 32/34, Киев, 03142 Украина * Φ aкс 38 0444243070, E-mail:iness@ionc.kar.net

Введение

Изучению особенностей электровыделения углерода из карбонатных и галогениднооксидных расплавов был посвящен цикл работ советских и зарубежных ученых [1 - 5]. Установлено, что при определенных условиях на катоде формируется твердая порошковая фаза углерода со 100 % выходом по току. Вопросы морфологии, структуры дисперсности продукта остались не раскрытым из-за отсутствия те годы В высокоразрешающей техники анализа. Разными школами электрохимиков предлагаформирования лись разные механизмы углеродной фазы:

(1) — электролитическое выделение щелочного металла на катоде, который далее химически восстанавливал карбонат-анион до углерода; (2) — непосредственный разряд на катоде карбонат аниона до углерода; (3) — протекание предшествующей химической реакции кислотно-основного типа

$$CO_3^{2-} \leftrightarrow CO_2 + O^{2-}$$
 (1)

с последующим разрядом на катоде диоксида углерода до углерода.

<u>Цель данной работы</u> – изучение особенностей выделения углерода из галогенидных расплавов, насыщенных диоксидом углерода под избыточным давлением до 20 атм. в диапазоне температур (500 - 800 °C).

Методы исследования - циклическая вольтамперометрия, электролиз с разными режимами контроля, химический и рентгенофазовый анализы, метод дифракции электронов, электронная микроскопия (трансмиссионная, сканирующая), КР- спектроскопия.

Результаты и обсуждение

Вольт-амперные исследования на игольчатом платиновом и золотом электродах показали, что при малых скоростях поляризации (меньше 0,2 В/сек) наблюдаются две хорошо выраженные волны восстановления CO_2 с предельными токами и потенциалами полуволн: (A) Е $_{1/2}$ = -0,44 В; (B) Е $_{1/2}$ = -0,78 В (рис. 1). На обратном ходе вольтамперограммы при потенциале возврата после первой волны анодный ток не наблюдается. Если возврат потенциала происходит после предельного

тока второй волны, на обратном ходе вольтамперограммы появляются две волны: (C) и (D). По мере сдвига потенциала возврата в отрицательную сторону ток первой волны (С) уменьшается тогда, как потенциал остается неизменным; потенциал пика второй волны (D) смещается в положительную область, а ток её растёт. Отличие I – E - кривых на золотом электроде состоит в наличии только одной волны (D) на обратном холе волтамперограммы, что связано, по-видимому, с отсутствием сплавообразования углерода с золотом.

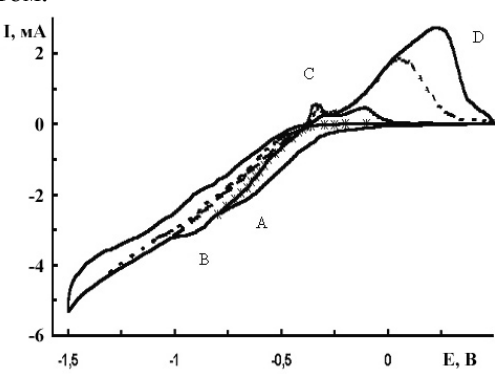
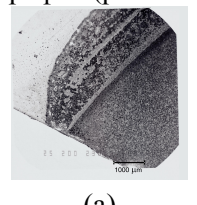
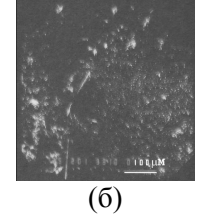


Рис.1 Циклические вольтамперограммы на платиновом игольчатом электроде при разных потенциалах возврата в расплаве NaCl-KCl (1:1) –CO₂ (10 атм.), T=750 ° C, скорость поляризации 0,1 $B \cdot c^{-1}$.

Для раскрытия механизма катодных процессов были проведены электролизы в потенциостатическом (при потенциалах первой и второй волн) режимах. Электролиз при потенциале первой волны в качестве катодного продукта дал не сплошные серые покрытия с достаточно хорошей адгезией к платиновой подложке (рис. 2 а). Зондовый микроанализ показал, что они состоят из осажденных примесей (Ca, Mg, Si, Zn) и остатков расплава. При электролизе при потенциале второй волны получены чёрные покрытия, которые почти обсыпались полностью при остывании. Установлено, что чёрный продукт в основном состоит углерода с незначительным количеством солей расплава. Исследование чёрного покрытия методом дифракции электронов на отражение показало, что оно

представляет собой поликристаллический графит (рис. 2 б, в).





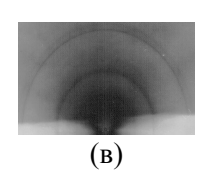


Рис. 2. Микрофотографии (а) серого покрытия, полученного из расплава NaCl-KCl-CO₂ (10 атм.),(E = - 0,6 В и Т = 750° C) (б) черного покрытия (NaCl-KCl-CO₂ (5 атм.), E=- 1B,T= 850° C) и его электронограмма (в).

На основе анализа полученных данных предложен ECE (electrochemical-chemical-electrochemical) механизм электровосстановления CO_2 :

Первая стадия – восстановление CO_2 до CO_2^{2-} радикала (волна A)

$$CO_2 + 2e^- = CO_2^{2-}$$

Образующийся радикал является неустойчивой и короткоживущей частицей, обладающей сильными восстановительными свойствами.

<u>Вторая стадия</u> — химическое образование монооксида углерода

$$CO_2^{2-} \rightarrow CO + O^{2-}$$

Третья стадия — необратимое электровосстановление СО до элементарного углерода (волна В).

$$CO + 2e^{-} \rightarrow C + O^{2-}$$

Суммарную катодную реакцию можно представить:

$$|K|$$
 3CO₂ + 4e⁻ \rightarrow C + 2 CO₃²⁻

На аноде происходит разряд карбонат-иона с выделением диоксида углерода и кислорода:

A
$$CO_3^{2-} \rightarrow CO_2 + \frac{1}{2} O_2 + 2 e^{-}$$

Итоговый процесс: $CO_2 = C + O_2$

С целью определения выхода по току продукта изучения катодного И химического, фазового состава и структуры проведена его наработка при различных катодных плотностях тока ($i_k = 10 \div 200 \text{ мA/cm}^2$) в системе KCl-NaCl (1:1) – CO₂ ($P_{CO2} = 5 \div 10$ атм. и T = 750 °C). Установлено, что катодные осадки содержат углеродные наночастицы разных форм и структур: блоки аморфного кристаллический углерода, графит, углеродные нанотрубки (УНТ) и нановолокна. Большинство УНТ являются многостенными, имеют изогнутую форму. Чаще всего они встречаются в виде клубков, реже - в виде отдельных трубок (рис.3). При этом один клубок состоит, как правило, из трубок одного диаметра. Наружный диаметр трубок - от 5 до 250 нм, а внутренний от 2 до 140 нм. Почти все трубки частично заполнены солью. С увеличением плотности тока диаметр нанотрубок уменьшается (хотя в каждом продукте встречаются нанотрубки разных диаметров). При этом увеличивается общий выход по току продукта и доля нанотрубок относительно общей массы продукта.

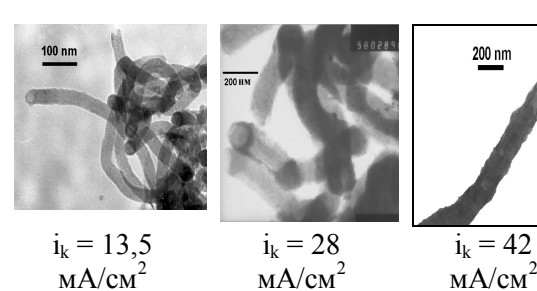


Рис.3 Микрофотографии катодных продуктов, полученные из расплава NaCl-KCl- $CO_2(10 \text{ атм.})$ при разных плотностях тока.

Выводы. Проведенные исследования показали принципиальную возможность получения нанодисперсных углеродных фаз (нанотрубок в том числе) методом электролизом солевых расплавов. Преимуществом метода является простота аппаратуры, экологическая чистота, экономичность, возможность управления структурой и морфологией продукта путем подбора оптимальных режимов электролиза.

Литература

- 1 Ingram M. D., Baron B., Janz G.J. The Electrolytic Deposition of Carbon from Fused Carbonates. Electrochemica Acta. 1966; 11(11): 1629-1639.
- 2. Bartlett H.E., Jonson K. E. Electrochemical Studies in Molten Li₂CO₃ Na₂CO₃. J. Electrochem. Society.1967; 144 (5): 457 461.
- 3. Делимарский Ю.К., Шаповал В.И. и др. Особенности катодного выделения углерода при электролизе расплавленных карбонатов. ДАН СССР.1968:183(6):1332 1334.
- 4. Смирнов М.В., Циковкина Л.А., Олейникова В.А. Катодные процессы на платиновом электроде в карбонатных расплавах. Труды института электрохимии УФ АН СССР.1970; 15: 135 139.
- 5. Шаповал В.И., Кушхов Х.Б., Новоселова И.А. Электровосстановление углекислого газа под избыточным давлением в эквимольном расплаве KCl-NaCl. Электрохимия. 1987; 23 (7): 952 956.